

УДК 681.142.353.
УДК 519.95

О РЕАЛИЗАЦИИ КОНЕЧНЫХ АВТОМАТОВ
В ОДНОРОДНЫХ СРЕДАХ

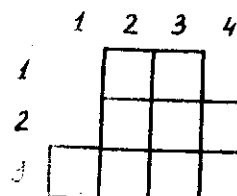
А.Я.Макаревский

Реализация устройств в однородных средах является одним из перспективных направлений использования возможностей микроэлектроники [1,2,3]. Целью настоящей работы является получение оценки сложности однородной среды, реализующей конечный автомат с заданным числом состояний, входов и выходов. Очевидно, что если не учитывать сложность ячеек, то такая оценка может быть сделана только с точностью до порядка, так как можно объединить в одну k ячеек, тем самым получив среду, имеющую в k раз меньшие ячейки и реализующую тот же автомат.

В качестве математической модели однородной среды ниже принимается понятие клеточного автомата.

Рассмотрим конечное клеточное пространство (см.рис. I). Клетку, находящуюся в i -й строке и j -ом столбце, будем обозначать (i, j) . Клеточное пространство рис. I состоит из клеток $(1,2), (1,3), (2,2), (2,3)$ и т.д.

Рассмотрим далее некоторый автомат A (рис.2,а), у которого есть четыре группы двоичных входных каналов $\bar{x}_1, \bar{x}_2, \bar{x}_3, \bar{x}_4$ и выходных каналов $\bar{y}_1, \bar{y}_2, \bar{y}_3, \bar{y}_4$, причем числа каналов в группах \bar{x}_i и \bar{y}_i , $i=1,2,3,4$ совпадают. Как обычно, можно перей-



ти к другой формулировке и вместо группы из n двоичных каналов рассмотреть один абстрактный с алфавитом из 2 символов. Тогда если под $x_i, y_i, i=1,2,3,4$, (рис.2,б) понимать такие каналы, то ограничение состоит в том, что их алфавиты x_i и y_i для всех $i, 1 \leq i \leq 4$ одинаковы.

Поместим теперь в каждую клетку клеточного пространства M по одной колонке автомата A , причем автомата, поме-

Рис. I.

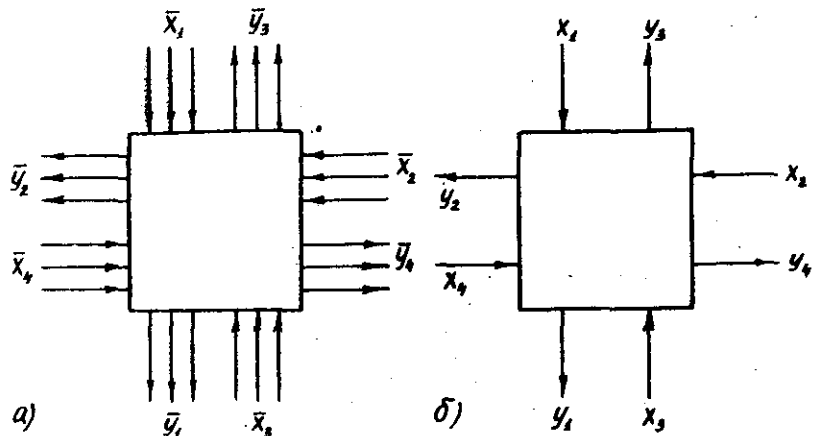


Рис. 2.

щенные в различные клетки, могут, вообще говоря, находиться в различных начальных состояниях. Автомат, помещенный в клетку (i, j) , будем обозначать $A(i, j)$, а каналы x_m и y_n автомата $A(i, j)$ будем обозначать $x_m(i, j)$ и $y_n(i, j)$. Входные и выходные каналы автомата $A(i, j)$ проходят через соответствующие границы клетки: каналы x_2 и y_4 — через правую границу, каналы x_1 и y_3 — через верхнюю границу и т.д. Если клетка $(i-1, j)$ принадлежит клеточному пространству M и, сле-

довательно, в них конечны автомоты $A(i-1, j)$, то конечны x_i и y_3 состояния $A(i, j)$ соединяются соответственно с конечными y_1 и x_3 автомата $A(i-1, j)$. Если же клетка $(i-1, j)$ не принадлежит пространству M , то конечны x_i и y_3 состояния $A(i, j)$ считанные вспомогательно. Так, например, конечны x_i автомата $A(2, 3)$ соединяются с конечными y_1 автомата $A(1, 3)$, конечны $y_1(2, 3)$ — с конечными $x_1(3, 3)$ и т.д.; вспомогательными являются конечны $x_1(3, 1)$, $y_3(3, 1)$, $x_3(3, 2)$ и т.д. (см. рис. I). Аналогично для клеток $(i+1, j)$, $(i, j+1)$, $(i, j-1)$.

Конечное клеточное пространство M , в каждую клетку которого помещен автомат A , будем называть (двумерным) клеточным автомотом $\alpha(M, A)$ над A . Такую конструкцию называют также автомотом Бейнинга-Черча, сотовообразной структурой, итеративной сетью и т.д. Сложность клеточного автомата α над A будем измерять чрезою экземпляров автомата A , использованных при построении автомата α .

Автомат A будем называть универсальным, если для любого автомата $\lambda(p, q, \tau)$ с p -буквенным входным алфавитом, q -буквенным выходным алфавитом и τ состояниями можно построить клеточный автомат α над A , реализующий λ . Пусть A — универсальный автомат. Через $L_A(\lambda)$ обозначим наименьшую сложность клеточного автомата α над A , вычислимого λ , а через $L_{\alpha}(\rho, q, \tau) = \max L_A(\lambda)$, где максимум берется по всем автоматам вида $\lambda(\rho, q, \tau)$.

Содержание работы состоит в исследовании поведения функции $L_A(\lambda, q, \tau)$, зависящей от трех параметров ρ, q, τ . Сначала доказывается верхняя оценка (при этом строится универсальный автомат A с 9 состояниями, предлагается метод построения клеточного автомата α над A , реализующего заданный автомат $\lambda(\rho, q, \tau)$, и оценивается сложность полученного клеточного автомата как функция от ρ, q, τ), а затем с помощью оценки снизу показывается, что полученная верхняя оценка является окончательной.

I. Оценка сверху

Пусть задан конечный автомат A , имеющий четыре состоя-

ния $\alpha_1, \alpha_2, \alpha_3, \alpha_4$, входной алфавит которого есть $\Sigma = \{\sigma_1, \sigma_2, \sigma_3\}$, выходной — $\tau = \{\tau_1, \tau_2, \tau_3\}$, начальное состояние — α_1 , функция переходов δ и выходов λ заданы табл. I и 2, соответственно. Построим автомат A и клеточный автомат α над A , который будет реализовывать автомат λ .

Таблица I

δ	σ_1	σ_2	σ_3
α_1	α_4	α_2	α_4
α_2	α_1	α_1	α_2
α_3	α_4	α_3	α_1
α_4	α_3	α_1	α_2

Таблица 2

λ	σ_1	σ_2	σ_3
α_1	τ_1	τ_3	τ_2
α_2	τ_2	τ_1	τ_3
α_3	τ_1	τ_2	τ_1
α_4	τ_3	τ_2	τ_1

Таблица 3

δ^*	σ_1	σ_2	σ_3
α_1	31	11	31
α_2	11	11	01
α_3	11	01	21
α_4	11	31	21

Прежде всего введем новую функцию δ^* (табл. 3). Если $\delta(\alpha_i, \sigma_j) = \alpha_k$, то $\delta^*(\alpha_i, \sigma_j) = (i-1)^k$, если $i > k$, и $\delta^*(\alpha_i, \sigma_j) = (k-i)^j$, если $i \leq k$. Возьмем клеточное пространство, состоящее из 24 клеток, расположенных в четыре строки и шесть столбцов, и в каждую клетку поместим автомат A (см. рис. 3), который будем описывать постепенно, по мере объяснения идеи работы клеточного автомата α над A . Автомат A имеет три группы состояний вида: $(+, \tau_i)$ и $(-, \tau_i)$, $\tau_i \in \tau$; $(+, \pi\xi)$ и $(-, \pi\xi)$, где $\xi \in \{t, f\}$ и π — целое неотрицательное число; $(\pi\xi_1, \pi\xi_2)$, $\xi_i \in \{t, f\}$. Состояния вида $(+, \alpha)$ будем называть активными, а $(-, \alpha)$ — пассивными. Состояния автомата $A(i, j)$ ($1 \leq i \leq 4$, $1 \leq j \leq 6$) в начальный момент показаны на рис. 3. Таким образом, в автоматах $A(i, i, j)$, расположенных в правых трех столбцах, записана функция λ , а в левых — таблица функции δ^* . Автоматы, находящиеся в первой строке (начальное состояние α_1),

+,3t	+,1t	+,3t	+,τ₁	+,τ₃	+,τ₂
-,1t	-,1t	-,0t	-,τ₂	-,τ₁	-,τ₃
-,1t	-,0t	-,2t	-,τ₃	-,τ₂	-,τ₁
-,1t	-,3t	-,2t	-,τ₃	-,τ₂	-,τ₁

Рис. 3.

Здесь удобно следующее кодирование. Отметим, что для простоты мы рассматриваем сейчас каналы x_i и y_i автомата \mathcal{A} как абстрактные (см. рис. 2, б), а не как группы двоичных каналов \bar{x}_i, \bar{y}_i .

находятся в активных состояниях, а все остальные - в пассивных. Каждому состоянию автомата \mathcal{A} соответствует строка автомата \mathcal{O} . Далее, для реализации автомата \mathcal{A} логической схемы (в частности, клеточным автоматом) нужно закодировать символы алфавитов входного Σ и выходного Γ , так как автомат \mathcal{A} веден абстрактными, а не структурными (двоичными) входами и выходами.

Символы будем кодировать наборами: $\sigma_1 = (2, 1, 1, 2, 1, 1)$, $\sigma_2 = (1, 2, 1, 1, 2, 1)$ и $\sigma_3 = (1, 1, 2, 1, 1, 2)$. Входные символы подаются на каналы x_i автомата $A(1,1), A(1,2), \dots, A(1,6)$, а выходные снимаются с каналов y_i автомата $A(4,4), A(4,5)$ и $A(4,6)$. На выходе клеточного автомата \mathcal{O} будем получать наборы вида $(\tau_i, 0, 0), (0, \tau_i, 0)$ и $(0, 0, \tau_i)$. Естественно набор $(\tau_i, 0, 0)$ декодировать как τ_i и т.д.

Автомат \mathcal{A} под действием символа σ_1 переходит из начального состояния a_1 в a_4 и выдает символ τ_1 . Подадим на входные каналы автомата \mathcal{O} код символа σ_1 и опишем работу автомата \mathcal{O} .

Автоматы $A(1,2), A(1,3), A(1,5)$ и $A(1,6)$ под действием входного сигнала $x_i = 1$ перейдут в пассивное состояние.

Автомат $A(1,4)$ передает вниз сигнал τ_1 ($y_{1,4} = \tau_1$) и переходит в пассивное состояние $(-, \tau_1)$. Сигнал τ_1 распространяется вниз, пока не появится на выходе y_i автомата $A(4,4)$.

Автомат $A(1,1)$ под действием входного сигнала $x_i = 2$ выдает вниз сигнал $y_{1,1} = 2t$, т.е. команду "сдвинуться вниз на две строки", и переходит в состояние $(-, 3t)$. Автомат $A(2,1)$ под действием сигнала $x_i = 2t$ переходит в состояние $(1t, 2t)$. Так как вторая координата не есть $0t$, то автомат $A(2,1)$ выдает вниз сигнал $1t$ и возвращается в состояние $(-, 1t)$. Автомат $A(3,1)$ работает точно так же и выдает вниз сигнал $y_{1,1} = 0t$, который переводит автомат $A(4,1)$ в состояние $(1t, 0t)$. На этот раз вторая координата состояния есть $0t$ и автомат $A(4,1)$ переходит в состояние $(+, 1t)$ и вырабатывает сигналы, которые, распространяясь в четвертой строке, переводят все автоматы в этой строке в активные состояния. Клеточный автомат \mathcal{O} готов к переработке следующего набора.

При подаче следующего набора автомата $A(i,j)$ ($i = 1, 2, 3, 1 \leq j \leq 6$) пропускают сигналы 1 и 2 вниз, при этом состояния этих автомата не меняются. На этот раз в части автомата \mathcal{O} , реализующей функцию переходов δ^* , будет происходить передача сигналов вверх. Она происходит точно так же, как и описанная выше передача вниз. Естественно говорить, что клеточный автомат \mathcal{O} реализует с некоторым временным растяжением и сдвигом автомат \mathcal{A} .

+,*I	I	/	+,*0	I	/	+,*I	I	/	+,0	+,I	+,I	+,I	+,I	+,0
-,*0	I	/	-,*0	I	/	-,*0	0	/	-,I	-,0	-,0	-,I	-,I	-,I
-,*0	I	/	-,*0	0	/	-,*I	0	/	-,0	-,I	-,I	-,0	-,0	-,I
-,*0	I	/	-,*I	I	/	-,*I	0	/	-,I	-,I	-,I	-,0	-,0	-,I

Рис. 4

Очевидно, что можно построить автомат \bar{A} , работающий описаным выше образом. Однако ясно, что в клеточных автоматах над A можно будет реализовать лишь автоматы не более чем с 4 состояниями, с 3-буквенным входным и выходным алфавитами. Поэтому закодируем числа в таблице δ^* и символы входного Σ и выходного Γ алфавитов автомата A двоичными наборами соотвествующей длины (табл. 4 и 5) и введем новый автомат \bar{A} . Ав-

Таблица 4

	σ_1	σ_2	σ_3
α_1	II /	0I /	II /
α_2	0I /	0I /	00 /
α_3	0I /	00 /	10 /
α_4	0I /	II /	10 /

Таблица 5

	σ_1	σ_2	σ_3
α_1	0I	II	10
α_2	10	0I	II
α_3	0I	10	0I
α_4	II	10	0I

томат \bar{A} имеет три группы состояний вида: $(+, \xi)$, $(-, \xi)$, $\xi \in \{0, 1\}$ – для реализации функции выходов λ ; $(+, *)$, $(-, *)$ и состояния вида (ξ) , где $\xi \in \{0, 1, +, -\}$, служащие для записи функции δ^* ; вспомогательные состояния вида (ξ_1, ξ_2) , где $\xi_i \in \{0, 1, +, -\}$.

Теперь в клеточном автомате Ω заменим каждый из автоматаов $A(i,j)$ одномерным блоком из автоматаов \bar{A} (см. рис. 4). Полученный клеточный автомат обозначим $\bar{\Omega}$. Автомат $A(i,j)$ ($1 \leq i \leq 4$, $j = 4, 5, 6$) заменяется блоком из двух автоматаов (для записи кодов символов τ_i), а $A(i,j)$ ($1 \leq i \leq 4$, $j = 1, 2, 3$) – блоком из четырех автоматаов. При этом самый левый в блоке автомат используется для записи $*$, определяющей начало блока, второй и третий автоматы – для записи двоичного кода соответствующего числа в таблице δ^* , а в четвертом автомате запоминается одна из стрелок \leftarrow или \rightarrow . Состояние автомата $\bar{A}(i,j)$ в начальный момент показано на рис. 4. Символы σ_i кодируются следующими наборами: $\sigma_1 = (2, 1, 1, 2, 2, 1, 1, 1, 1)$, $\sigma_2 = (1, 2, 1, 1, 1, 2, 2, 1, 1)$, $\sigma_3 = (1, 1, 2, 1, 1, 1, 1, 2)$. Входные символы подаются на каналы $x_{(1,1)}$, $x_{(1,5)}$, $x_{(1,9)}$, $x_{(1,13)}$, $x_{(1,14)}$, ..., $x_{(1,18)}$, выходные снимаются с каналов $y_{(4, j)}$, ($13 \leq j \leq 18$). Образуем пару $(y_{(4,13)} + y_{(4,15)} + y_{(4,17)}$;

$y_{(4,14)} + y_{(4,16)} + y_{(4,18)}$) и восстановим символ τ_i , комом которого является эта пара.

Рассмотрим кратко работу клеточного автомата $\bar{\Omega}$ при подаче на его входы набора $(2, 1, 1, 2, 2, 1, 1, 1, 1)$. Автоматы $\bar{A}(i,j)$ ($1 \leq i \leq 4$, $13 \leq j \leq 18$), реализующие функцию λ , работают точно так же, как в автоматае Ω . Автоматы $\bar{A}(1,5)$ и $\bar{A}(1,9)$ перейдут в пассивные состояния $(-, \pi)$. Автомат $\bar{A}(1,1)$ под действием входного сигнала $x_{(1,1)} = 2$ вырабатывает сигнал, который, распространяясь слева направо, проверяет, не записан ли в блоке нулевой набор^{*)}. Этот сигнал, отражаясь от автомата $\bar{A}(1,4)$, проходит справа налево и вызывает передачу вниз набора $(1, 0, +)$, который записывается в автоматах $\bar{A}(2, 2)$, $\bar{A}(2, 3)$ и $\bar{A}(2, 4)$, а именно эти автомата переходят в состояния $(0, 1)$, $(1, 0)$ и $(+, \leftarrow)$ соответственно. Автомат $\bar{A}(1,1)$ передает вниз сигнал, приводящий в действие автомат $\bar{A}(2, 1)$. Далее происходит проверка равенства нулю набора, записанного во вторых координатах состояний автоматаов $\bar{A}(2, 2)$ и $\bar{A}(2, 3)$. Автоматы $\bar{A}(2, 2)$, $\bar{A}(2, 3)$ и $\bar{A}(2, 4)$ передают вниз набор $(0, 1, +)$ и возвращаются в исходные состояния. Наконец, вторые координаты состояний автоматаов $\bar{A}(4, 2)$ и $\bar{A}(4, 3)$ будут равны нулю, и автомат $\bar{A}(4, 4)$ выдает сигналы, которые, распространяясь в 4-й строке, восстанавливают прежние состояния автоматаов $\bar{A}(4, 2)$ и $\bar{A}(4, 3)$ и переводят в активные состояния соответствующие автомата. В остальном работа автомата $\bar{\Omega}$ и Ω аналогична. Нетрудно видеть, что можно построить автомат \bar{A} , работающий описанным выше образом, причем в клеточных автоматах над \bar{A} можно реализовать любой конечный автомат. Переходим к точной формулировке результата.

Определение. Фиксируем последовательность Σ алфавитов $\Sigma_n = \{\sigma_1, \sigma_2, \dots, \sigma_n\}$, $n = 1, 2, \dots, k$, не уменьшающая общности, будем рассматривать автоматы, входные и выходные алфавиты которых суть алфавиты из Σ . Через Σ_n^* обозначим

*) Если бы был записан нулевой набор, то автомат $\bar{A}(1,4)$ выдал сигналы, которые перевели бы все автомата первой строки в активные состояния.

множество слов в алфавите Σ . Через $H(\rho, q, \gamma)$ обозначим семейство инициальных автоматов с γ состояниями, с входным алфавитом Σ_ρ и выходным алфавитом Σ_q . Каждый автомат $A \in H(\rho, q, \gamma)$ задает некоторый оператор α из Σ_ρ в Σ_q . Пусть задан автомат $A \in H(\rho, q, \gamma)$. Как обычно, для того, чтобы можно было говорить о реализации оператора α , задаваемого автоматом A , некоторой логической сетью (в частности, клеточным автоматом) с n входами и m выходами, нужно закодировать символы из Σ_ρ наборами (u_1, \dots, u_n) символов входного алфавита элементов сети, и наборы (v_1, \dots, v_m) символов выходного алфавита элементов сети декодировать как символы из Σ_q . Будем говорить, что клеточный автомат Ω реализует оператор α с растяжением T , сдвигом τ и кодированием (f, g) , если для любого слова $\sigma_i, \sigma_{i_2} \dots \sigma_{i_k}$ в алфавите Σ_ρ автомат Ω перерабатывает последовательность $f(\sigma_i) \bar{0} \dots \bar{0} f(\sigma_{i_k}) \bar{0}$

$\bar{0} \dots \bar{0} f(\sigma_{i_k}) \bar{0} \dots \bar{0}$ в последовательность $\xi_1 \xi_2 \dots \xi_k$ такую, что $g(\xi_1) g(\xi_2) \dots g(\xi_k) = \alpha(\sigma_i, \sigma_{i_2} \dots \sigma_{i_k})$, где $\bar{0}$ — нулевой входной набор *). Будем говорить, что клеточный автомат Ω реализует конечный автомат A с растяжением T , сдвигом τ и кодированием (f, g) , если он реализует с этими параметрами оператор α , задаваемый автоматом A . Заметим, что кодирующие функции f и g не должны зависеть от автомата A , а лишь от параметров ρ, q и γ (в противном случае возможна тривиальная реализация — тождественное преобразование). Поэтому в дальнейшем будем предполагать, что существует способ W порождения функций f и g по значениям параметров ρ, q, γ . Будем предполагать также, что растяжение T и сдвиг τ также определяются способом W по значениям параметров ρ, q, γ и, таким образом, одинаковы для всех автоматов A , принадлежащих одному семейству $H(\rho, q, \gamma)$.

Автомат A будем называть универсальным, если существует способ W порождения (по числам ρ, q, γ) кодирующих функций f и g и чисел T и τ такой, что для любых ρ, q, γ и любого автомата $A \in H(\rho, q, \gamma)$ можно построить клеточный ав-

*) Сравнить с определением реализации логической сети ограниченно детерминированного оператора в [4].

томат Ω над A , реализующий автомат A с кодированием (f, g) , растяжением T и сдвигом τ , задаваемыми W .

Пусть A — универсальный автомат и W — способ порождения кодируемых функций и величин растяжения T и сдвига τ . Через $L_{A,W}(A)$ обозначим наименьшую сложность клеточного автомата Ω над A , реализующего автомат A с кодированием, растяжением и сдвигом, задаваемыми W , а через $L_{A,W}(\rho, q, \gamma)$ обозначим $\max L_{A,W}(A)$, где максимум берется по всем $A \in H(\rho, q, \gamma)$. Справедлива следующая верхняя оценка.

ТЕОРЕМА I. Существуют универсальный автомат A и способ W такие, что

$$L_{A,W}(\rho, q, \gamma) \leq \rho \gamma \log q \gamma$$

$(\varphi(x) \leq \psi(x)$, если $\varphi(x) \leq C \psi(x)$, C — константа, и \log — есть логарифм по основанию 2).

Универсальный автомат. Определим точно универсальный автомат, идея конструкции которого была изложена выше (автомат \bar{A}).

Сначала для удобства изложения построим автомат A , с 18 состояниями: $(+, 0), (+, 1), (-, 0)$ и $(-, 1)$ используются для реализации функций выходов; $(+, *)$ и $(-, *)$ — для отметки начала блока; $(0), (1), (+)$ и $(-)$ — для записи функции δ^* ; $(0, 0), (0, 1), (1, 0), (1, 1), (+, +), (+, -), (-, +)$ и $(-, -)$ — вспомогательные. Алфавиты каналов x , и y , есть $\{0, 1, 2, 3, 4\}$; x_2 и y_2 — $\{0, 1, 2, 3, 4, 5\}$; x_3 и y_3 — $\{0, 1, 2\}$; x_4 и y_4 — $\{0, 1, 2, 3\}$.

Для простоты описания будем считать, что выходной сигнал, индуцированный входным сигналом, поданным в момент t , появляется на выходе автомата A , в непосредственно следующий момент $t+1$. Функции переходов и выходов автомата A , приведены в табл. 6а, в которой при указании входных и выходных комбинаций опущены нулевые значения. Под действием нулевого входного набора $x_1 = x_2 = x_3 = x_4 = 0$ автомат A не меняет своего состояния и выдает $y_1 = y_2 = y_3 = y_4 = 0$.

Нетрудно видеть, что некоторые состояния автомата A , сов-

ТАБЛИЦА 65

	$x_1=1$	$x_1=2$	$x_1=3$	$x_1=4$	$x_2=1$	$x_2=2$	$x_2=3$	$x_2=4$	$x_3=1$	$x_3=2$	$x_3=3$	$x_3=4$	$x_4=1$	$x_4=2$	$x_4=3$
(+, 0)	(+, 0)	(-, 0)													
(+, 1)	(+, 0)	(-, 1)													
(-, 0)	(-, 0)	(+, 0)													
(-, 1)	(-, 1)	(+, 2)													
(-, 1)	(-, 1)	(-, 1)													
(-, 1)	(+, 1)	(+, 2)													
(+, *)	(+, *)	(+, *)	(+, *)	(+, *)	(+, *)	(+, *)	(+, *)	(+, *)	(+, *)	(+, *)	(+, *)	(+, *)	(+, *)	(+, *)	(+, *)
(-, *)	(-, *)	(-, *)	(-, *)	(-, *)	(-, *)	(-, *)	(-, *)	(-, *)	(-, *)	(-, *)	(-, *)	(-, *)	(-, *)	(-, *)	(-, *)
(0)	(0)	(0)	(0)	(0)	(0)	(0)	(0)	(0)	(0)	(0)	(0)	(0)	(0)	(0)	(0)
(0, 0)	(0, 0)	(0, 0)	(0, 0)	(0, 0)	(0, 0)	(0, 0)	(0, 0)	(0, 0)	(0, 0)	(0, 0)	(0, 0)	(0, 0)	(0, 0)	(0, 0)	(0, 0)
(0, 1)	(0, 1)	(0, 1)	(0, 1)	(0, 1)	(0, 1)	(0, 1)	(0, 1)	(0, 1)	(0, 1)	(0, 1)	(0, 1)	(0, 1)	(0, 1)	(0, 1)	(0, 1)
(1, 0)	(1, 0)	(1, 0)	(1, 0)	(1, 0)	(1, 0)	(1, 0)	(1, 0)	(1, 0)	(1, 0)	(1, 0)	(1, 0)	(1, 0)	(1, 0)	(1, 0)	(1, 0)
(1, 1)	(1, 1)	(1, 1)	(1, 1)	(1, 1)	(1, 1)	(1, 1)	(1, 1)	(1, 1)	(1, 1)	(1, 1)	(1, 1)	(1, 1)	(1, 1)	(1, 1)	(1, 1)
(1, t)	(1, t)	(1, t)	(1, t)	(1, t)	(1, t)	(1, t)	(1, t)	(1, t)	(1, t)	(1, t)	(1, t)	(1, t)	(1, t)	(1, t)	(1, t)
(t, 0)	(t, 0)	(t, 0)	(t, 0)	(t, 0)	(t, 0)	(t, 0)	(t, 0)	(t, 0)	(t, 0)	(t, 0)	(t, 0)	(t, 0)	(t, 0)	(t, 0)	(t, 0)
(t, 1)	(t, 1)	(t, 1)	(t, 1)	(t, 1)	(t, 1)	(t, 1)	(t, 1)	(t, 1)	(t, 1)	(t, 1)	(t, 1)	(t, 1)	(t, 1)	(t, 1)	(t, 1)
(t, t)	(t, t)	(t, t)	(t, t)	(t, t)	(t, t)	(t, t)	(t, t)	(t, t)	(t, t)	(t, t)	(t, t)	(t, t)	(t, t)	(t, t)	(t, t)
(t, f)	(t, f)	(t, f)	(t, f)	(t, f)	(t, f)	(t, f)	(t, f)	(t, f)	(t, f)	(t, f)	(t, f)	(t, f)	(t, f)	(t, f)	(t, f)

ТАБЛИЦА 66

	$x_1=1$	$x_1=2$	$x_1=3$	$x_1=4$	$x_2=1$	$x_2=2$	$x_2=3$	$x_2=4$	$x_3=1$	$x_3=2$	$x_3=3$	$x_3=4$	$x_4=1$	$x_4=2$	$x_4=3$
C_1	C_3	C_3	C_3	C_3	C_7										
C_2	$y_1=0$	$y_1=0$	$y_1=0$	$y_1=0$	$y_1=2$										
C_3	C_4	C_4	C_4	C_4	C_8										
C_4	$y_1=0$	$y_1=1$	$y_1=1$	$y_1=1$	$y_1=2$										
C_5	C_3	C_3	C_3	C_3	C_2										
C_6	C_6	C_6	C_6	C_6	C_6	C_6	C_6	C_6	C_6	C_6	C_6	C_6	C_6	C_6	C_6
C_7	$y_1=1$	$y_1=2$	$y_1=2$	$y_1=2$	C_1										
C_8	C_8	C_2	C_2	C_2	C_8										
C_9		C_9	C_9	C_9	$y_1=0$										

местими. Проведя минимизацию [5], можно получить автомат A_2 с 9 состояниями (табл. 6б, в которой состояние c_i есть множество совместимых состояний $\{(+, 0), (0, 1)\}$, $c_2 = \{(+, 1), (1, 0)\}$, $c_3 = \{(-, 0), (+, +)\}$, $c_4 = \{(-, 1), (+, +)\}$, $c_5 = \{(+, *), (+)\}$, $c_6 = \{(-, *), (+, +)\}$, $c_7 = \{(0), (0, 0)\}$, $c_8 = \{(1), (1, 1)\}$ и $c_9 = \{(+), (+, +)\}$). Ниже при доказательстве универсальности в целях большей простоты используется автомат A_1 .

ДОКАЗАТЕЛЬСТВО универсальности автомата A_1 . Прежде всего опишем способ W порождения кодирующих функций (f, g) и величин растяжения T и сдвига τ . Зафиксируем числа R, Q, τ . Через ρ обозначим $\lceil \log_2 \tau + 2 \rceil$ и через $Q - \lceil \log_2 Q \rceil$. ($\lceil \alpha \rceil$ — наименьшее целое, не меньшее α). Функция f определена на множестве букв алфавита $\Sigma_R = \{\sigma_1, \dots, \sigma_R\}$ со значениями в множестве наборов длины $\rho + Q \cdot \rho$ символов 1 и 2, а именно $f(\sigma_i) = (\alpha_1, \dots, \alpha_{\rho+Q \cdot \rho})$, где $\alpha_i = 2, \alpha_{\rho+Q(i-1)} = 2, 1 \leq i \leq Q$, и для всех остальных значений k $\alpha_k = 1$. Далее, функция g определена на наборах из 0 и 1 длины ρQ и $g(\beta_1, \dots, \beta_{\rho Q}) = \sigma_i$, где i — число, двоичной записью которого является набор $(\sum_{j=0}^{\rho-1} \beta_{1+jQ}, \sum_{j=0}^{\rho-1} \beta_{2+jQ}, \sum_{j=0}^{\rho-1} \beta_{3+jQ}, \dots, \sum_{j=0}^{\rho-1} \beta_{\rho+jQ})$. Наконец, $T = \tau + 2R + p(R+Q)$ и $\tau = \tau$. Пусть теперь задан автомат $\mathcal{A} \in H(\rho, Q, \tau)$ с множеством состояний $\{\alpha_1, \dots, \alpha_2\}$, начальным состоянием α_1 , входным алфавитом Σ_R , выходным алфавитом Σ_Q , функциями переходов δ и выходов λ . Введем, как и раньше, функцию δ^* .

Построим клеточный автомат \mathcal{O} над A_1 , реализующий \mathcal{A} . Возьмем клеточное пространство, состоящее из \geq строк и $\rho(R+Q)$ столбцов. Будем говорить, что автоматы $A(i, m-1)R+j)(m \leq \rho, 1 \leq j \leq Q)$ образуют блок $B(i, m)$, а автоматы $A(i, \rho R+(n-1)Q+j)(n \leq \rho, 1 \leq j \leq Q)$ образуют блок $B(i, \rho+n)$. Начальные состояния автоматов $A(i, j)$ определяются следующим образом. Пусть $\delta^*(\alpha_i, \sigma_j) = \tau \xi$, $\xi \in \{+, *\}$ и $\lambda(\alpha_i, \sigma_j) = \sigma_n$. Тогда в блоке $B(i, j)$ записывается двоичная запись числа m и стрелка ξ , а в блоке $B(i, \rho+j)$ — двоичная запись числа n . Автоматы в k -й строке находятся в активных состояниях, а в остальных — в пассивных. Входные символы подаются на каналы $x_{(i, (i-1)2+1)}$,

запись $y_{(i, (i-1)2+1)}$ и $y_{(i, (i-1)2+1)}$. Тогда в блоке $B(i, j)$ записывается двоичная запись числа m и стрелка ξ , а в блоке $B(i, \rho+j)$ — двоичная запись числа n . Автоматы в k -й строке находятся в активных состояниях, а в остальных — в пассивных. Входные символы подаются на каналы $x_{(i, (i-1)2+1)}$,

$i = 1, 2, \dots, \rho$ и каналы $x_{(i, (i-1)2+1)}$, $1 \leq j \leq \rho Q$, а выходные символы снимаются с каналов $y_{(i, (i-1)2+1)}$, $1 \leq j \leq \rho Q$.

Пусть $\sigma_{i_1} \sigma_{i_2} \dots \sigma_{i_k}$ — произвольное слово в алфавите Σ_R и пусть автомат \mathcal{A} перерабатывает его в слово $\sigma_{j_1} \sigma_{j_2} \dots \sigma_{j_k}$. Опишем работу автомата \mathcal{O} над последовательностью наборов:

$$f(\sigma_{i_1}) \bar{o} \dots \bar{o} f(\sigma_{i_k}) \bar{o} \dots \bar{o} f(\sigma_{i_k}) \bar{o} \dots \bar{o} .$$

В начальный момент на входные каналы подается набор $f(\sigma_{i_1})$. Набор $f(\sigma_{i_1})$ проpusкается вниз соответствующими автоматами и в k -й момент поступает на входные каналы x , автоматов $A(k, 1), A(k, 2+1)$ и т.д., причем автоматы, расположенные в первых $(k-1)$ строках, не меняют своих состояний.

Автоматы $A(k, j)$ под действием входного сигнала $x_j = 1$ переходят из активного состояния вида $(+, \xi)$ в пассивное состояние $(-, \xi)$.

Автоматы $A(k, j)$, входящие в блок $B(k, j)$, находятся в активных состояниях вида $(+, \xi)$, $\xi \in \{0, 1\}$. Под действием входного сигнала $x_j = 2$ эти автоматы переходят в пассивное состояние $(-, \xi)$ и выдают сигнал $y_j = \xi$ (см. табл. 7, на которой представлен фрагмент табл. 6а, связанный с реализацией функций выходов λ). Эти сигналы распространяются вниз и через $(z-k+1)$ тактов появляются на выходных рабочих каналах. Очевидно, что появляется набор ξ , который декодируется как σ_{j_1} . Состояния автоматов в последних $(z-k)$ строках, передающих эти сигналы вниз, не меняются.

Таблица 7

$X_j=1$	$X_j=2$
$(+, 0)$ $y_1=0$	$(-, 0)$ $y_1=0$
$(+, 1)$ $y_1=0$	$(-, 1)$ $y_1=1$
$(-, 0)$ $y_1=1$	$(-, 0)$ $y_1=2$
$(-, 1)$ $y_1=1$	$(-, 1)$ $y_1=2$

Автомат $A(k, (i-1)2+1)$, находящийся в состоянии $(+, *)$, под действием сигнала $x_j = 2$ остается в том же состоянии и выдает сигнал $y_j = 1$. Этот сигнал, проходя слева направо, проверяет, не записан ли в блоке $B(k, z)$ кулевой набор (табл. 8). Рассмотрим три возможных случая.

1) $\delta^*(\alpha_k, \sigma_j) = 0$. Сигнал 1, распространяясь в блоке $B(k, z)$, доходит до автомата $A(k, z, 2)$, который выдает сигнал $y_2 = y_4 = 3$. Эти сигналы, распространяясь в k -й строке, все автоматы, находящиеся в состояниях вида $(-, \xi)$, переводят в ак-

Таблица 8

	$X_1=2$	$X_4=1$	$X_4=2$
(+, *)	(+, *)		
$y_4=1$			
(0)	(0)	(0)	
	$y_4=1$	$y_4=2$	
(1)	(1)	(1)	
	$y_4=2$	$y_4=2$	

Таблица 9

	$X_2=1$	$X_2=2$
(0)	(0)	(0)
	$y_1=3$ $y_2=1$	$y_1=4$ $y_2=2$
(1)	(1)	(1)
	$y_1=4$ $y_2=2$	$y_1=3$ $y_2=2$

тивные состояния $(+, \xi)$. Автомат α готов к переработке следующего набора.

2) $\delta^*(\alpha_k, \sigma_i) = m$, $m > 0$. На вход x_4 автомата $A(k, i, R)$ поступает сигнал 2 (т.к. в блоке $B(k, i)$ есть хотя бы один автомат, находящийся в состоянии (I)). Автомат $A(k, i, R)$ остается в том же состоянии (+) и выдает сигналы $y_3 = 3$ и $y_4 = 1$. Сигнал 1, проходя справа налево, вызывает передачу двоичной записи числа $(m - 1)$ (табл.9). При этом используется тривиальное соотношение $\alpha_{ik} 10_2 \dots 0 = \alpha_{ik} 01_2 \dots 1 + 1$, $\alpha_i \in \{0, 1\}$, и кодом 0 при передаче вниз является сигнал 4, а кодом 1 — сигнал 3. Наконец, автомат $A(k, (i-1)R+1)$ под действием входного сигнала $x_2 = 2$ переходит в состояние (-, *) и выдает сигнал $y_1 = 4$.

Рассмотрим работу автоматов, принадлежащих блоку $B(k+1, i)$. Автомат $A(k+1, i, R)$ под действием входного сигнала $x_1 = 3$ из состояния (ξ) , $\xi \in \{\emptyset, 1\}$, переходит в состояние $(\xi, 1)$. Автомат $A(k+1, j)[(i-1)R+j < i, R]$ из состояния ξ , $\xi \in \{0, 1\}$, под действием входного сигнала $x_1 = 4$ переходит в состояние $(\xi, 0)$. Автомат $A(k+1, (i-1)R+1)$ под действием входного сигнала $x_1 = 4$ переходит из состояния (-, *) в (+, *) и выдает сигнал $y_4 = 1$. Работа в блоке $B(k+1, i)$ протекает аналогично описанному выше, причем учитываются лишь вторые компоненты вектора состояния (табл.10).

Очевидно, что процесс передачи вниз будет продолжаться до $(k+m)$ -й строки, когда на вход автомата $A(k+m, i, R)$ поступит сигнал $x_4 = 1$ и автоматы $A(k+m, R+j+1)$, $(1 \leq j \leq p-1)$ и $A(k+m, pR+c)$ ($1 \leq c \leq pR$) будут переведены в активные состояния. Автомат α готов к переработке следующего входного набора. Заметим, что весь процесс перехода займет $k+2R(m+1)+\max_i 2i$,

Таблица 10

	$X_2=1$	$X_2=2$	$X_2=3$	$X_4=1$	$X_4=2$
(0, 0)	(0)	(0)	(0)	(0, 0)	(0, 0)
	$y_1=3$ $y_2=1$	$y_1=4$ $y_2=2$	$y_2=3$	$y_4=1$	$y_4=2$
(0, 1)	(0)	(0)	(0)	(0, 1)	(0, 1)
	$y_1=4$ $y_2=2$	$y_1=3$ $y_2=1$	$y_2=3$	$y_4=2$	$y_4=2$
(1, 0)	(1)	(1)	(1)	(1, 0)	(1, 0)
	$y_1=3$ $y_2=1$	$y_1=4$ $y_2=2$	$y_2=3$	$y_4=1$	$y_4=2$
(1, 1)	(1)	(1)	(1)	(1, 1)	(1, 1)
	$y_1=4$ $y_2=2$	$y_1=3$ $y_2=1$	$y_2=3$	$y_4=2$	$y_4=2$
(+, +)				(+)	(+)
				$y_2=y_4=3$	$y_1=3$ $y_2=1$
(+, +)				(+)	(+)
				$y_2=y_4=3$	$y_1=3$ $y_2=1$

Таблица II

	$X_2=4$	$X_2=5$	$X_3=1$	$X_3=2$	$X_4=1$	$X_4=2$
(+, *)		(-, *)				
		$y_3=2$				
(-, *)					(+, *)	
					$y_4=1$	
(0)	(0)	(0)	(0, 1)	(0, 0)	(0)	(0)
	$y_2=4$ $y_3=1$	$y_2=5$ $y_3=2$	$y_3=0$	$y_3=0$	$y_4=1$	$y_4=2$
(1)	(1)	(1)	(1, 1)	(1, 0)	(1)	(1)
	$y_2=5$ $y_3=2$	$y_2=5$ $y_3=1$	$y_3=0$	$y_3=0$	$y_4=2$	$y_4=2$
(+)			(1, 1)	(1, 0)	(+)	(+)
			$y_3=0$		$y_2=y_4=3$	$y_2=4$ $y_3=1$
(+)					(+)	(+)
					$y_2=y_4=3$	$y_2=4$ $y_3=1$
(0, 0)	(0)	(0)	(0)	(0, 0)	(0, 0)	(0, 0)
	$y_2=4$ $y_3=1$	$y_2=5$ $y_3=2$			$y_4=1$	$y_4=2$
(0, 1)	(0)	(0)	(0)	(0, 1)	(0, 1)	(0, 1)
	$y_2=5$ $y_3=2$	$y_2=5$ $y_3=1$			$y_4=2$	$y_4=2$
(1, 0)	(1)	(1)	(1)	(1)	(1, 0)	(1, 0)
	$y_2=4$ $y_3=1$	$y_2=5$ $y_3=2$			$y_4=1$	$y_4=2$
(1, 1)	(1)	(1)	(1)	(1)	(1, 1)	(1, 1)
	$y_2=5$ $y_3=2$	$y_2=5$ $y_3=1$			$y_4=2$	$y_4=2$
(+, +)					(+)	(+)
					$y_2=y_4=3$	$y_2=4$ $y_3=1$
(+, +)					(+)	(+)
					$y_2=y_4=3$	$y_2=4$ $y_3=1$

$R(p-i_1+Q\rho)$ тактов.

3) Пусть теперь $\delta^*(\sigma_i, \sigma_{i_1}) = n$ ($n > 0$). Работа автоматов, принадлежащих блоку $B(x, i_1)$, проходит аналогично описанному выше, с той лишь разницей, что справа налево распространяются сигналы 4 (вместо 1) и 5 (вместо 2), вызывающие передачу вверх двоичной записи числа ($n-1$). При передаче вверх кодом 0 является сигнал 2 и кодом 1 — сигнал 1. Запись в блоке $B(x-1, i_1)$ и дальнейшая работа проходит так же, как и при передаче вниз с очевидными изменениями. Фрагмент таблицы .68, связанный с передачей вверх, представлен в табл. II.

Работа автомата α над следующим набором $f(\sigma_{i_2})$ проходит аналогично. Заметим, что минимальное расстояние, необходимое для реализации автомата A :

$$T_{min} = \max [i + 2R(\Delta(i, j) + 1) + \\ + \max (Rj, R(R-j) + Q, 0)] \leq T = r + 2rR + R(R+Q),$$

где минимум берется по всем состояниям a_i и по всем входным символам σ_j и $\Delta(i, j)$ — число, стоящее в таблице δ^* на пересечении i -й строки и j -го столбца.

Таким образом, показано, что для произвольного автомата A можно построить клеточный автомат α над A_1 , реализующий A , т.е. автомат A_1 , а значит, и эквивалентный ему автомат A_2 с 9 состояниями, универсальный. При этом клеточный автомат α , реализующий произвольный автомат $A \in H(P, Q, r)$, имеет сложность:

$$L(\alpha) = r\rho(R+Q) = r\rho([r-2+r]\log_2[r] \leq r\rho \log_2 r^2.$$

Теорема подобности доказана.

Замечания

I. При доказательстве верхней оценки, по существу, предлагаются метод реализации автоматов в однородных средах. Отметим некоторые особенности принятого подхода. Во-первых, проблемы выбора ячеек и создание метода реализации в среде решаются одновременно. Во-вторых, память ячейки используется не только для захвачивания настройки, но и в процессе работы среды. Иаконец,

предлагается вкладывать в среду непосредственно задание условий работы, минуя этапы структурного синтеза и размещения полученной логической сети в среде.

2. Всё рассматривалось одно специальное кодирование символов алфавитов Σ_p и Σ_q . Можно рассмотреть минимальное кодирование, т.е. кодировать символы входного Σ_p и выходного Σ_q алфавитов наборами длины $\lceil \log p \rceil$ и $\lceil \log q \rceil$ соответственно. Тогда реализация будет иметь вид, изображенный на рис.5: Клеточный автомат α — это автомат α , описанный выше, а клеточные автоматы \mathcal{F} и \mathcal{L} — это демодифратор и мифратор, связанные специальным кодированием, введенное выше, и минимальное кодирование символов алфавитов Σ_p и Σ_q . В этом случае сложность устройства в целом равна

$$\lceil \log p \rceil \cdot p(R+Q) + pr(R+Q) + pQ + \frac{Q(Q-1)}{2},$$

что по порядку не превосходит $pQ \log_2 q^2$, если $r \geq \log p$ и $r \geq \log q$.

2. Оценка снизу

Покажем теперь, что не существует универсального автомата, который позволял бы получить существенно менее сложную реализацию.

ТЕОРЕМА 2. Для любого универсального автомата и любого способа W

$$L_{A,W}(P,Q,r) \geq pr \log_2 q^2.$$

ДОКАЗАТЕЛЬСТВО. Пусть A — произвольный универсальный автомат и W — некоторый соответствующий A способ порождения кодирующих функций и величин расстояния и сдвига. Пусть автомат A имеет m состояний. Рассмотрим клеточный автомат α над A сложности N . Оператор

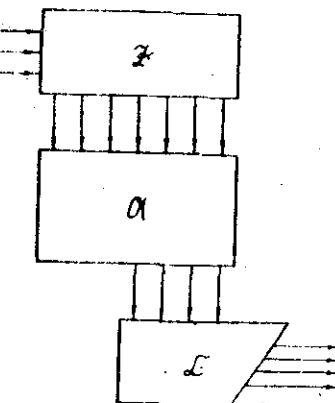


Рис. 5

реализуемый автоматом \mathcal{Q} , с кодированием, растяжением и сдвигом, задаваемыми W , будет однозначно определен, если фиксировать начальное состояние автомата \mathcal{Q} (одно из n^N) и используемые входные и выходные каналы. Пусть c_f - длина наборов, $f(\sigma)$, $\sigma \in \Sigma_p$, а c_g - длина наборов на которых определена функция g . Очевидно, что используемые входные (выходные) каналы можно разместить не более чем c_{4N}^g (c_{4N}^f) способами, т.к. число внешних входных (выходных) каналов автомата \mathcal{Q} не превосходит $4N$. Таким образом, автомат \mathcal{Q} может реализовать не более

$$n^N \cdot c_{4N}^f \cdot c_{4N}^g \leq 2^{c_{4N}}$$

различных операторов из Σ_p^* в Σ_q^* . Далее, т.к. изоморфные клеточные автоматы реализуют один и те же операторы, а число изоморфных клеточных автоматов сложности N не превосходит $2^{c_2 N}$ [6] (т.к. клеточный автомат - плоская логическая сеть), то на всех клеточных автоматах над A сложности N можно реализовать не более $2^{c_2 N} \cdot 2^{c_2 N} \leq 2^{c_3 N}$ различных операторов. Число различных операторов, задаваемых автоматами семейства $H(p, q, z)$ не меньше чем $(qz)^{(p-1)z} (q-1)^{z-1}$ [7]. Наконец, т.к. в клеточных автоматах сложности $L_{A,W}(p, q, z)$ можно реализовать любые операторы, задаваемые автоматами из $H(p, q, z)$, то

$$2^{c_3 L_{A,W}(p, q, z)} \geq (qz)^{(p-1)z} (q-1)^{z-1}$$

Отсюда

$$L_{A,W}(p, q, z) \geq p z \log q z$$

Теорема доказана.

СЛЕДСТВИЕ. Полагая в теореме 2 $p = 2^n$, $q = 2$, $z = 1$, получим оценку снизу сложности $L(n)$ реализации булевых функций от n аргументов: $L(n) \geq 2^n$. Верхнюю оценку $L(n) \leq 2^n$ см., например, в [2].

Л и т е р а т у р а

1. И.В. ПРАНГИШРИЛИ, Н.А. АБРАМОВА, Е.В. БАБИЧЕВА, В.В. ИГНАТЬЧЕНКО. Микроэлектроника и однородные структуры для построения логических и вычислительных устройств, "Наука", М., 1967.
2. В.В. ЕВРЕИНOV, Ю.Г. КОСАРЕВ. Однородные универсальные вычислительные системы высокой производительности, "Наука" СО, Новосибирск, 1966.
3. Микроэлектроника и большие системы, сб. переводов под ред. В.Г. Толстова, "Мир", М., 1967.
4. Н.Е. КОБРИНСКИЙ, Б.А. ТРАХТЕНБРОТ. Введение в теорию конечных автоматов. Физматгиз, М., 1962.
5. M.C.PAUL, S.H.UNGER. Minimizing the number of states in incompletely specified switching functions. IRE Trans., EC-8, 1959.
6. Ф.Я. ВЕТУХНОВСКИЙ. Об оценках числа плоских графов; -ДАН, 1962, т.142, 1.
7. Б.А. ТРАХТЕНБРОТ. О сложности схем, реализующих многопараметрические семейства операторов. - Проблемы кибернетики, М., 1964, вып.12.

Поступила в редакцию
10.XII. 1969 г.